



جيوكيمائية و تكتونية صخور التراخيات ضمن تكوين هورمان الكاريوناتي، نطاق التحام الزاكروس، إقليم كردستان / شمالي شرق العراق

صباح احمد اسماعيل¹ ، شلير برهان عبدالقادر²

¹ كلية التربية العلوم الصرفة، جامعة كركوك، كركوك، العراق.

² قسم الجيولوجيا التطبيقية، كلية العلوم، جامعة كركوك، كركوك، العراق.

¹Sabah@uow.edu.au, ²Shaleer.b91@gmail.com

الملخص

تنكشف صخور التراخيات على شكل قواطع نقطع صخور هورمان الكاريوناتي في الجزء الشمالي الغربي لنطاق التحام الزاكروس. أكدت الدراسة البتروغرافية المصاحبة مع التحليل الإلكتروني الدقيق بان البلاجيوكليس والكلينوبيرووكسین تمثل المكونات المعدنية الرئيسية المكونة لهذه الصخور فضلا عن معادن المغنتيت والالمنیت على شكل معادن اضافية. تتوارد المعادن الثانوية المتمثلة بسحنة الزيوليت (معدن الانالسيم) والسربيتين الناتجة من عمليات التغيير والسربرنة. دلت الدراسة الجيوكيمائية على ان هذه الصخور تكون ذات محتوى واطئ من السليكا وانها غنية بالكلاسيوم. تشير معایرة القطر العالی(LILE) وإغناء في محتواها من العناصر ذات شدة المجال العالی(HFSE)، بينما معایرة العناصر الارضیة النادرة مع صخور كوندرايت اشارت الى اغناءها بالعناصر الارضیة النادرة الخفیفة (LREE) مقارنة بالعناصر الارضیة النادرة الثقیلة(HREE). جميع الدلائل الجيوكيمائية اشارت بان هذه الصخور تكونت من المصدر الجبی في بيئه البازلت للجزر المحيطیة(OIB) ضمن الصفيحة (WIP).

الكلمات الدالة: التراخيات، هورمان، كوندوانا، كوردستان العراق.



Geochemical and Tectonic Setting of Trachyte rock within Avroman Carbonite Formation, Zagros Suture Zone, Kurdistan Region/ Northeastern Iraq.

Sabah A. Ismail¹, Shleer B. Abdul-Qadir²

¹College of Education for Pure Science, University of Kirkuk, Kirkuk, Iraq.

²Department of Applied Geology, Collage of Science, University of Kirkuk, Kirkuk, Iraq.

¹Sabah@uow.edu.au, ²Shaleer.b91@gmail.com

Abstract

Trachyte extrusion rocks exposed as dyke cutting Avroman carbonate formation that is part of northwestern Zagros suture zone. Petrographical study combined with EMPA study reveals that these trachyte rock composed of essentially Plagioclase and Clinopyroxene minerals with occurrence of some accessory minerals such as Ilmenite and Magnetite. Secondary minerals of Zeolite facies (Analcime) and Serpentine minerals are present as result of alteration and serpentinization process. The whole rock geochemical indicates that these rocks are poor in silica and rich in calcium content. Upper continental crust indicate that these elements are depleted in Large ion lithophil element(LILE) and enrich in high field strength element(HFSE). Chondrite normalized rare earth elements are characterized by enrichment in light rare earth element (LREE) relative to heavy rare earth element (HREE). Geochemical data indicate that these rocks were generated from on enriched (OIB) mantle source formed Within Plate (WIP).

Keywords: Trachyte; Avroman; Gondwana; Kurdistan Iraq.

1. المقدمة

التراخيت صخرة بركانية فاتحة اللون دقيقة الحبيبات جدا تتكون بنسبة كبيرة من معادن الفلسبار القلوي مع كميات قليلة من المعادن الداكنة، وتنتمي صخرة التراخيت بوجود الأنسجة والتراكيب الاتجاهية والتي تنتج من سريران الصهير أثناء تبلوره، اذ ترتتب البلاورات الكبيرة في خطوط متوازية تتبع في اتجاهها اتجاه انسياپ الصهير [1]. تتمثل منطقة الدراسة بنطاق التحام زاكروس (Zagros suture zone) والذي يمثل التصادم ما بين الصفيحة العربية والصفيحة الايرانية في الجزء الشمالي الشرقي من العراق. نطاق التحام زاكروس يكون محصوراً بين فالق زاكروس الزاحف الرئيسي العكسي الى الشمال الشرقي (Zagros Main Reverse Foul)، وفالق زاكروس الزاحف (Zagros thrust front) الى الجنوب الغربي. يعتقد [2] ان منطقة النطاق الزاحف حدثت خلال حركات الالابين البانية للجبال (Alpine Orogeny) والتي بدأت من العصر الطباشيري الاعلى واستمرت الى العصر الحديث مروراً بالعصر الثالثي.

إن الوضع التكتوني الحالي للجزء الشمالي الشرقي من الصفيحة العربية نتج عن الانغلاق النهائي لبحر التيتيس الحديث بسبب التصادم بين الصفيحة العربية والايرانية خلال المايوسين المبكر الى المايوسين الأوسط [3].

2.موقع منطقة الدراسة

تم جمع ثمانية نماذج لصخور التراخيت من الاندفاعات النارية التي تقطع صخور هورمان الكاربوناتي من منطقة فريبة من قرية هاني دن (Hanay Din) ناحية احمد آوا، وعلى بعد (82 كم) جنوب شرق محافظة السليمانية. وتقع منطقة الدراسة بين خطوط طول ($35^{\circ}17'33.8''\text{N}$ - $35^{\circ}17'19.43''\text{E}$) شمالاً وخطوط العرض ($46^{\circ}08'16.63''\text{E}$ - $46^{\circ}07'33.2''\text{E}$) شرقاً **شكل 1**.

3. جيولوجية منطقة الدراسة

يظهر تكوين هورمان في شمال شرق العراق على الحدود الايرانية في سلسلة جبال هورمان. حدد عمر هذا التكوين بالاعتماد على دراسة المتحجرات الدقيقة اواخر العصر الтриاسي (Late Triassic) (Norian-Rhaetian)، يحد التكوين من الأعلى تكوين قلقة والطبقات الحمراء التابعة لوحدة مركة (Merga Red Bed)، ولم يتم تحديد الحد الأسفل لهذا التكوين كونها غير منكشفة على السطح، ترسب الجزء الكاربوناتي من هذا التكوين في البيئة الضحلة على منصة كاربوناتية ضمن الرصفيف المستقر [4].

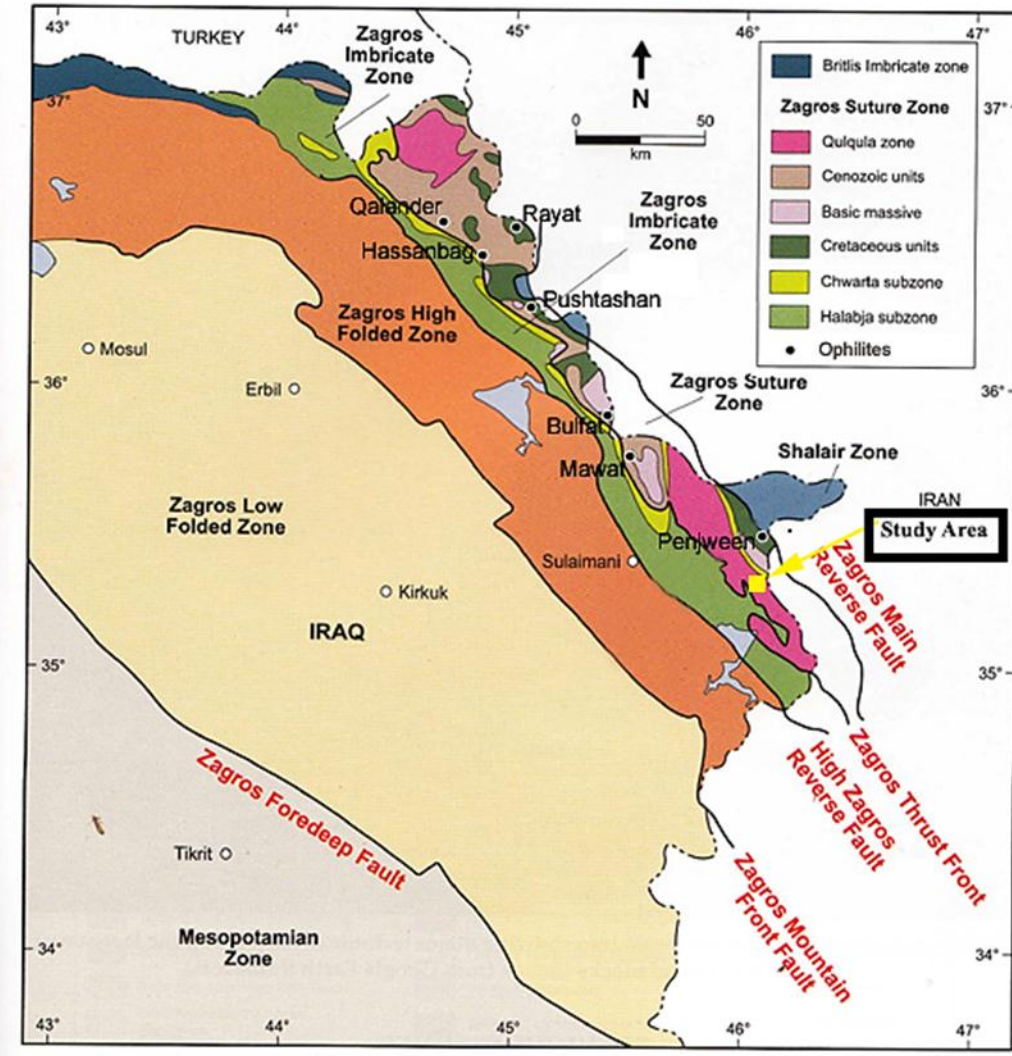


يقطع التكوين العديد من الاندفاعات النارية والتي حدتها دراسة كل من [6-4] وجود جسمين ناريين يقطعان التكوين، الجسم الأول موجود بين الحد الفاصل بين تكوين هورمان وتكون قلقة، أما الجسم الثاني موجودة ضمن تكوين هورمان.

أما في الدراسة الحالية فقد أمكن تشخيص ستة اندفاعات بركانية ضمن منطقة الدراسية وتمتد هذه الاندفاعات بشكل متوازي وباتجاه (NW – SE)، وت تكون من صخور البازلت الأوليفين، الدايبيس والتراخايت، وتبصر صخور التراخايت في ثمانية مكافئ تم تحديد عمر هذه الاندفاعات البركانية اعتمادا على دراسة نظائر (K/Ar) بعمر النوعين (Norian) (220+20 Ma) [7]. يكفي تكوين هورمان الجزء السفلي لتكون بيستون والذي يكون مكتوفا على مسافة قصيرة من الجنوب الشرقي من التكوين ضمن حدود ايران، اذ يتشابه هذان تكوينان من ناحية العمر والوضع التكتوني وزحف التكوين فوق صخور تكوين قلقة الراديولاريا [3].

4. النمذجة و طرائق العمل

تم جمع (8) نماذج من صخور التراخايت من ثمانية مكافئ نارية موجودة ضمن تكوين هورمان الكاربوناتي. ولغرض تحديد الخصائص البترографية تم تحضير ثمانية شرائح رقيقة (Thin Section) وشريحتين منها كانت مصقوله لدراسة المعادن المعتمدة. تم تحديد المكونات المعdenية للصخور قيد الدراسة باستخدام جهاز XRD PANalytical – XPWRT (BRO) الموجود في المركز العلمي لبحوث التربية/جامعة حلوان /جمهورية مصر العربية، بينما درست المكونات الكيميائية للمعادن باستخدام تقنية التحليل الالكتروني الدقيق (EMPA) من نوع (JEOL 8200) الموجودة في جامعة دلهاوسي (Canada/Dalhousie University). اجريت تحليل جميع النماذج الصخرية بواسطة جهاز (ICP-MS) من نوع (Elmer Elam ,Perkin 6000) والموجود في مختبرات شركة أكمي (Acme) في فانکوفر في كندا للعناصر الرئيسية والأثرية والأرضية النادرة.



شكل 1: تقسيم تكتوني للعراق محورا من قبل [3] مبينا عليها منطقة الدراسة.

5. النتائج والمناقشة

1.5 الدراسة البتروغرافية

يمثل النسيج التراخيتي النسيج الوحيد في جميع النماذج والتي يعرف بانها تحتوي على شرائح الفلسبار (feldspar) و المرتبة في خطوط موازية لاتجاه تدفق الحمم البركانية. يظهر هذا النسيج في الصخور الغنية بالقلويات **شكل 2a**. وتحتوي صخرة التراخيت على معادن الفلسبار، الكالسait، السيرينتين والزيوليت. يمتاز معدن الفلسبار بكونه بلوراته صغيرة لا تتجاوز أبعادها (0.5 mm) وتظهر باللون رصاصي فاتح الى عديمة اللون.

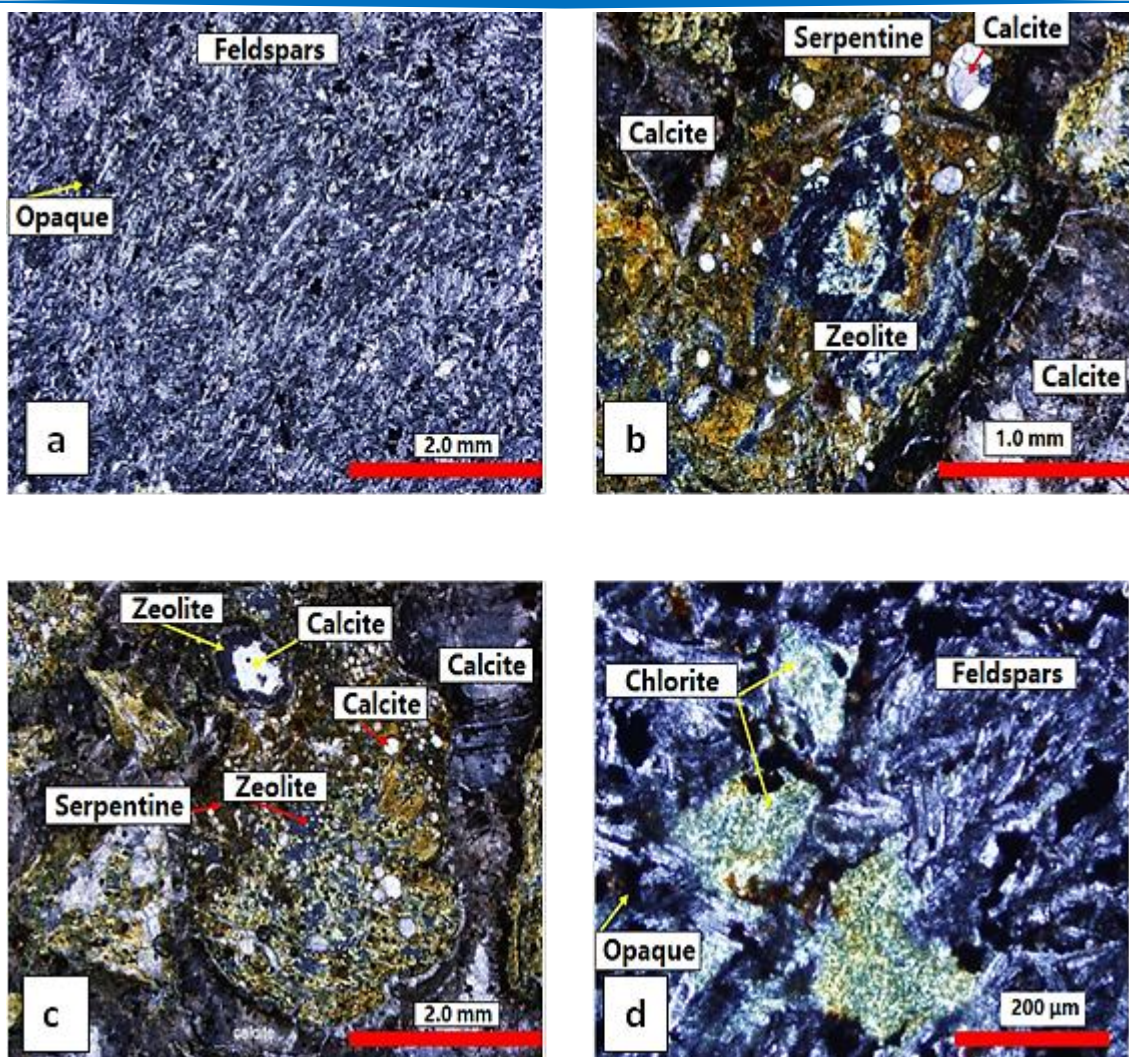
أكدت دراسة كيمياء المعادن بواسطة التحليل الإلكتروني الدقيق والموضحة في الجدول 1 بأن نوعية معادن (K-feldspar) هي من نوع ساندين (Sanidin) [8] شكل 3. والصيغة الكيميائية له هي $(An_{0.95} Ab_{7.62} Or_{91.41})$. ويترافق الفلدسبار مع معادن كلورايت والكالسait في صخور التراخايت وينفس الاتجاهات البلورية. يتواجد معن السريرتين على شكل ارضية وهي ناتجة من عمليات تحلل البايروكسین والأولييفين ويتميز بأنه له أنفاصام كامل وذات لون أخضر شاحب شكل 2b ويصاحب هذا التحلل وجود حبيبات من اكاسيد الحديد الداكنة.

تظهر معادن الزيولايت ضمن صخور التراخايت كمال للفراغات نتيجة حدوث التغير (Alteration) في هذه الصخور، وقد أمكن تشخيص معن الزيولايت باستخدام المجهر المستقطب فضلا عن تشخيصها باستخدام الاشعة السينية الحائدة (XRD) شكل 2c.

ويمثل معن انالسيم (Analcime) معن الزيولايت الرئيسي في صخور التراخايت كما في الشكل 4، ويتوارد على شكل مالي للفتحات والثقوب.

تظهر معن الكالسait بشكل عديم اللون وذات مستويات تشقق واضحة وفي اتجاهي الانطفاء يكون متاظر وتكون الوان التداخل زاهية برتبة عالية ولها تؤمة بسيطة (Simple twinning) ويظهر الكالسait بشكل بلورات صغيرة متاثرة ضمن أرضية من معادن السريرتين شكل 2c.

يتواجد معن الكلورايت بكميات قليلة في النماذج قيد الدراسة ويظهر بلون أخضر شاحب مع تغير لوني من أخضر إلى أحضر مائل للزرقة، ويكون الأنطفاء بشكل موازي والوان التداخل تكون ذات رتبة أولى من الرصاصي العائم الى الازرق ويانفصام قاعدي، وينتشر الكلورايت في النماذج قيد الدراسة بشكل بقع (Patches) غير منتظمة أو حبيبات مبعثرة في أرضية الصخرة كما في الشكل 2d.



شكل 2: تمثل النسيج التراخيتي والمكونات المعدنية الموجودة في صخور قيد الدراسة

a: شريحة لنسيج التراخيتي (Trachytic texture) في الصخور التراخایت حيث تظهر فلدسبار بنفس اتجاه الصورة

تحت الضوء المستقطب.

b: شريحة لصخرة التراخایت تظهر معدن السرپنتین في الصخور التراخایت الناتج عن تغير (تحل) البايروكسین والأوليفين

الصورة تحت الضوء المستقطب.

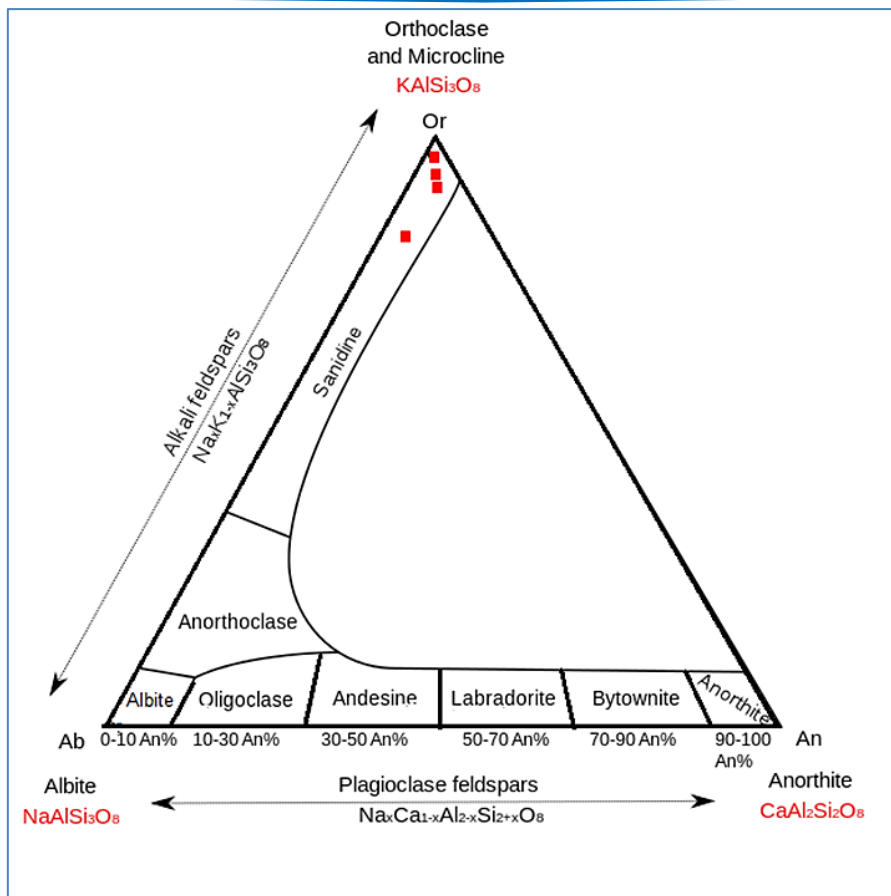
c: شريحة لصخرة التراخایت تظهر معدن الزيولیات وكالسایت والسرپنتین الصورة تحت الضوء المستقطب.

d: شريحة لصخرة التراخایت تظهر معدن كلورایت بهيئة بقع الصورة تحت الضوء المستقطب.

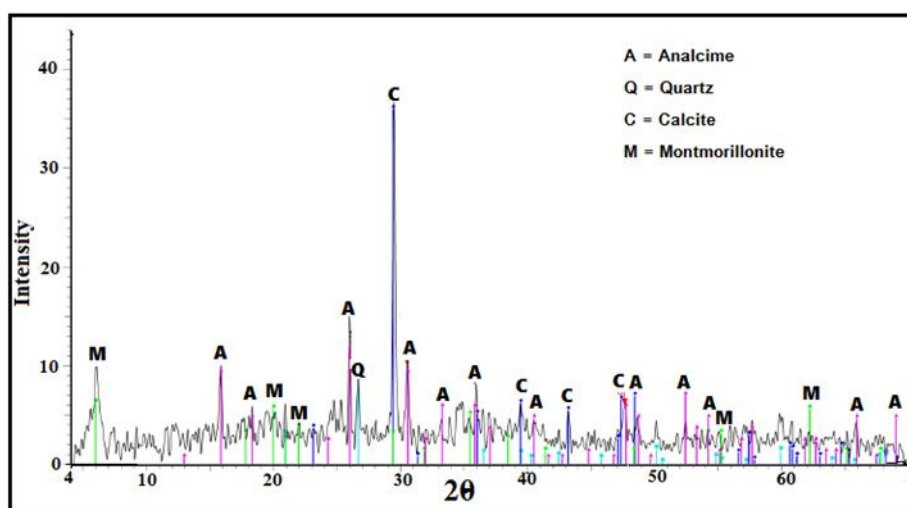


جدول 1: نتائج التحليل الإلكتروني الدقيق وحساب الصيغة الكيميائية لمعدن البلاجيوكليس بالاعتماد على (32) ذرة أوكسجين.

Rock Type	Trachyte			
Mineral	Sanidine			
SiO₂	64.64	64.51	64.53	64.71
TiO₂	0.08	0.05	0.02	0.03
Al₂O₃	19.01	18.21	18.22	18.38
FeO	0.68	0.27	0.33	2.04
MnO	0.02	0.00	0.00	0.03
MgO	0.11	0.00	0.19	1.45
CaO	0.41	0.00	0.07	0.19
Na₂O	1.65	0.11	0.58	0.65
K₂O	11.61	16.08	15.48	13.45
P₂O₅	0.00	0.00	0.03	0.00
Total	98.21	99.23	99.45	100.93
Formula				
Si	2.986	3.003	2.994	2.954
Ti	0.003	0.002	0.001	0.001
Al	1.035	0.999	0.996	0.989
Fe	0.026	0.011	0.013	0.078
Mn	0.001	0.000	0.000	0.001
Mg	0.008	0.000	0.013	0.099
Ca	0.020	0.000	0.003	0.009
Na	0.148	0.010	0.052	0.058
K	0.684	0.955	0.916	0.783
P	0.000	0.000	0.001	0.000
Total	4.910	4.978	4.990	4.971
Or	80.275	98.971	94.272	92.138
Ab	17.343	1.029	5.369	6.769
An	2.381	0.000	0.358	1.093



شكل 3: يمثل نوعية البلاجيوكليس والفلدسبار القلوي على مخطط الثلاثي (Or-Ab-An) عن [8]



شكل 4: نمط حيد الاشعة السينية (XRD) لصخرة الترخايت توضح نوعية معادن الزيوليت المرافقة لهذه الصخور.

6. جيوكيميائية صخور التراخيت

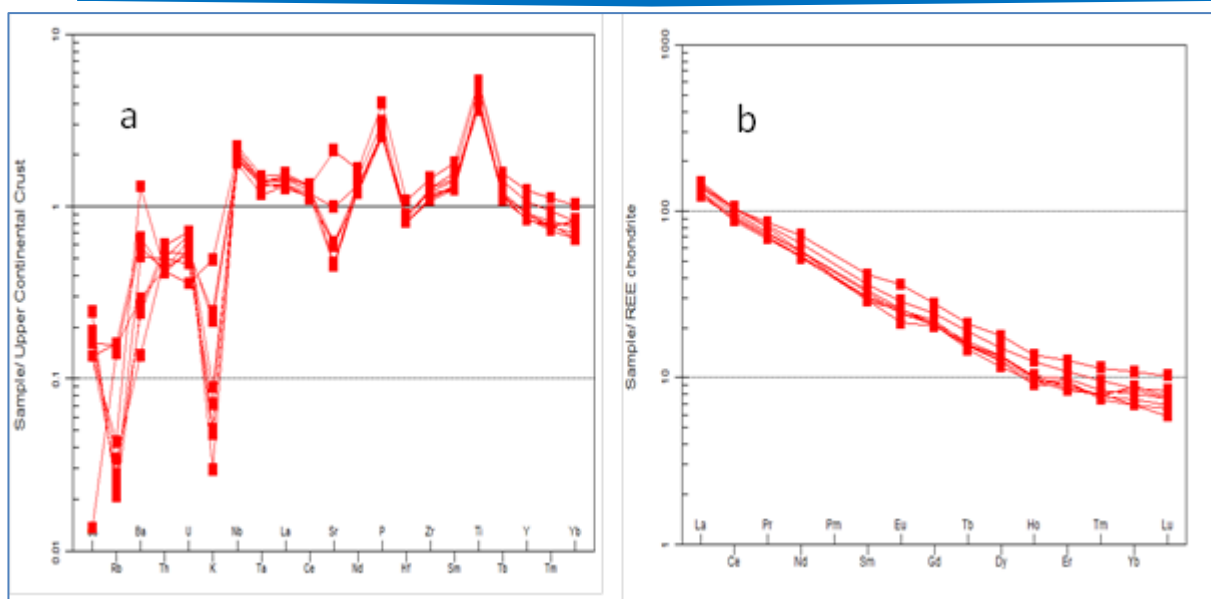
تم قياس تراكيز (45) عنصراً كيميائياً في جميع النماذج قيد الدراسة ، متضمنا العناصر الرئيسية والأثرية والعناصر الأرضية النادرة. تعد السليكا من الأكسيد الأساسية المكونة للصخر قيد الدراسة، وتتراوح مدياتها في الصخور ما بين (30.40–50.94%) وبمعدل (35.45%) وتلعب السليكا دوراً رئيسياً في تحديد نوعية الصخور النارية [9] وتمتاز هذه الصخور لمحتوها العالي من الكالسيوم والتي تتراوح مدياتها ما بين (3.64–14.74 %) وبمعدل (10.97 %)، وإن الزيادة في نسبة الكالسيوم قد يعود إلى تأثير عمليات التغيير على هذه الصخور، فضلاً عن تأثير الصخور الكاربوناتية المحيطة، كما في [الجدول 2](#) الذي يمثل تراكيز بقية العناصر الرئيسية المكونة لهذه الصخور. عند معايرة تركيز هذه العناصر مع محتواه في الجزء العلوي للقشرة القاري ظهرت افتقاراً في محتوى العناصر الليثوفيلية ذات نصف القطر العالي (LILE) مثل (Ba, Rb, K, Sr) وهي عناصر متحركة، بينما تظهر محتوى عالي من العناصر ذات شدة المجال (HFSE) مثل (Nb, Zr, Ta, Th, Hf, U). وهي عناصر غير متحركة كما في [الشكل 5a](#).

تظهر مخططات العناصر الأرضية النادرة للنماذج قيد الدراسة عند معايرتها بمحتواها في صخور الكوندراتيت (Chondrite) تجانساً في نمط توزيع العناصر الأرضية النادرة، وتشير المخططات بأن هناك إغناء في العناصر الأرضية النادرة الخفيفة (LREE) مقارنة بالعناصر الأرضية النادرة الثقيلة (HREE) كما في [الشكل 5b](#).

استخدمت النسبة La/Sm_N للدلالة على إغناء أو افتقار في (LHRR) وتتراوح نسبته في صخور التراخيت (4.52 – 4.39)، ومن خلال هذه القيم نلاحظ اغتناؤها بالعناصر (LHRR)، فضلاً عن ذلك تستخدم النسبة La/Yb_N التي تمثل النسبة بين العناصر الأرضية النادرة الخفيفة (LREE) والعناصر الأرضية النادرة الثقيلة (HREE) التي تساوي (La/Yb_N) ومتراوح La/Yb_N (LREE/HREE) في صخور التراخيت ما بين (13.06 – 18.71)، وهكذا تدل النسبة La/Yb_N على إغناء هذا الصخر بالـ (HREE) نسبة إلى (LREE). لم تظهر النماذج قيد الدراسة على آية شذوذ بالنسبة لشانتي (Eu, Ce) وإن عدم ظهور شذوذ (Ce) قد يدل على محدودية تأثير الصخور بعمليات التغيير الثانوية.

جدول 2: تراكيز الاكاسيد الرئيسية والعناصر الاثرية والعناصر الارضية النادرة لصخور قيد الدراسة.

Rock Type	Trachyte							
Major Oxides (wt %)	1	2	3	4	5	6	7	8
SiO₂	50.94	30.87	32.54	35.62	35.54	30.40	33.73	33.99
Al₂O₃	16.54	11.68	11.35	12.61	12.08	11.11	12.43	11.45
Fe₂O₃	14.82	10.38	11.05	12.21	11.05	10.64	10.50	10.54
MgO	0.98	8.11	7.22	8.45	7.30	7.04	7.35	7.86
CaO	3.64	13.88	13.10	8.16	10.43	14.74	11.83	12.05
Na₂O	5.59	1.85	1.34	1.67	1.82	1.58	1.50	2.51
K₂O	1.66	0.17	0.73	0.24	0.83	0.30	0.10	0.16
TiO₂	2.69	2.05	2.12	2.51	2.18	2.06	1.98	1.83
P₂O₅	0.64	0.42	0.41	0.50	0.43	0.41	0.44	0.41
MnO	0.08	0.09	0.18	0.23	0.17	0.36	0.16	0.18
Cr₂O₃	0.003	0.014	0.014	0.017	0.013	0.012	0.019	0.017
LOI	2.2	20.2	19.6	17.5	17.9	21.0	19.7	18.7
Total	99.80	99.71	99.76	99.73	99.76	99.76	99.75	99.74
Trace elements (ppm)								
Ni	<20	59	66	83	63	59	78	81
V	114	157	151	146	159	147	146	148
Ga	13.9	13.8	15.7	15.3	16.3	15.7	15.6	13.3
Co	14.9	31.6	35.3	35.9	30.7	31.2	28.1	30.7
Sc	10	12	13	15	13	12	12	12
Sr	742.0	348.1	214.9	162.5	159.5	207.5	163.8	217.2
Rb	15.8	2.7	17.8	3.8	17.3	4.8	2.3	3.1
Ba	320	280	362	75	161	719	140	132
Zr	278.3	230.1	213.8	245.7	216.9	206.5	244.5	232.7
Hf	6.3	5.2	4.7	5.1	4.7	4.7	4.8	5.2
Nb	51.1	47.6	46.8	55.7	48.4	44.7	53.3	50.0
Y	27.4	19.9	18.9	23.7	18.5	18.7	20.2	19.9
Be	<1	3	2	<1	2	2	2	2
Cs	<0.1	0.7	0.5	0.6	0.6	0.5	0.9	0.5
Sn	3	2	2	2	2	1	2	2
Ta	3.1	2.9	2.9	3.3	3.0	2.6	3.1	3.0
Th	4.5	5.4	4.4	5.4	4.7	4.6	6.4	5.8
U	1.0	1.9	1.6	1.3	1.5	1.8	2.0	1.5
W	0.8	<0.5	0.9	<0.5	0.5	<0.5	1.3	0.9
Rare Earth Elements								
La	43.8	40.6	39.7	46.6	38.3	40.1	45.1	43.3
Ce	84.4	75.8	72.4	85.6	73.5	71.2	83.3	80.2
Pr	10.46	8.90	8.55	10.08	8.64	8.38	9.70	9.19
Nd	43.1	34.8	31.3	38.3	32.3	31.9	34.7	34.3
Sm	8.12	5.65	5.86	7.03	5.97	5.73	6.59	6.37
Eu	2.67	1.88	1.82	2.12	1.89	1.57	1.91	1.78
Gd	7.19	5.69	5.40	6.30	5.32	5.29	5.50	5.38
Tb	1.00	0.75	0.70	0.90	0.75	0.73	0.78	0.75
Dy	5.73	4.34	3.73	4.82	4.10	4.03	4.33	4.27
Ho	0.98	0.72	0.68	0.90	0.69	0.65	0.74	0.71
Er	2.66	1.90	2.01	2.30	1.77	1.93	2.09	1.80
Tm	0.37	0.25	0.24	0.31	0.26	0.25	0.27	0.26
Yb	2.26	1.55	1.43	1.81	1.43	1.85	1.68	1.78
Lu	0.33	0.22	0.19	0.27	0.21	0.25	0.24	0.24



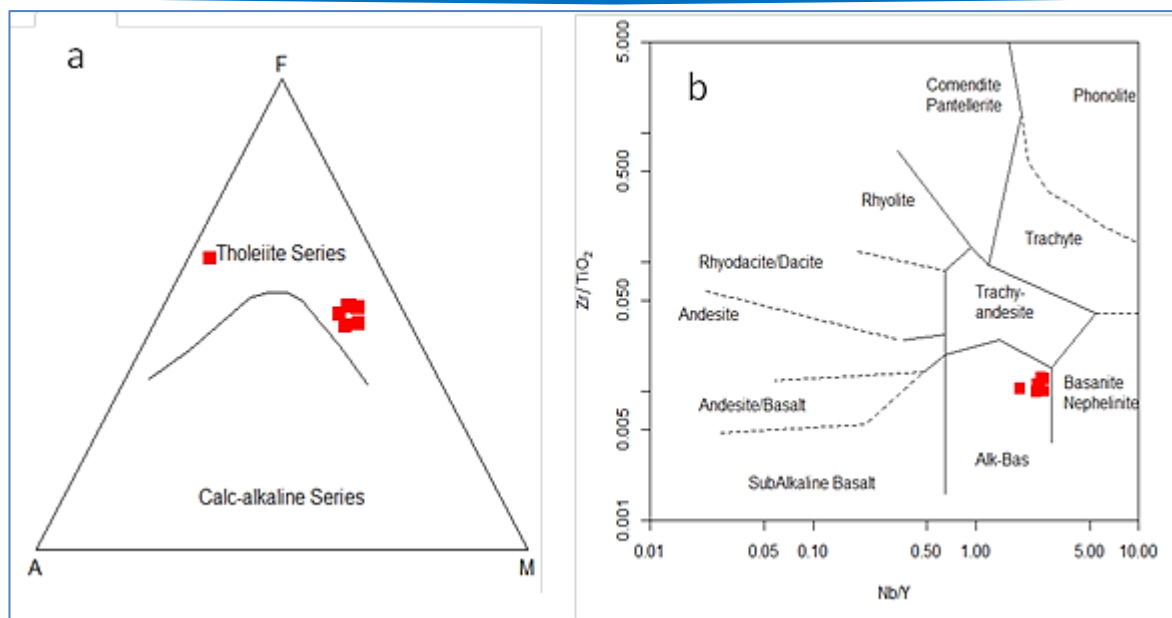
شكل 5: a: نمط توزيع العناصر عند معايرتها مع الجزء العلوي من القشرة عن [14].

b: نمط توزيع العناصر الأرضية النادرة لصخور قيد الدراسة عن [15].

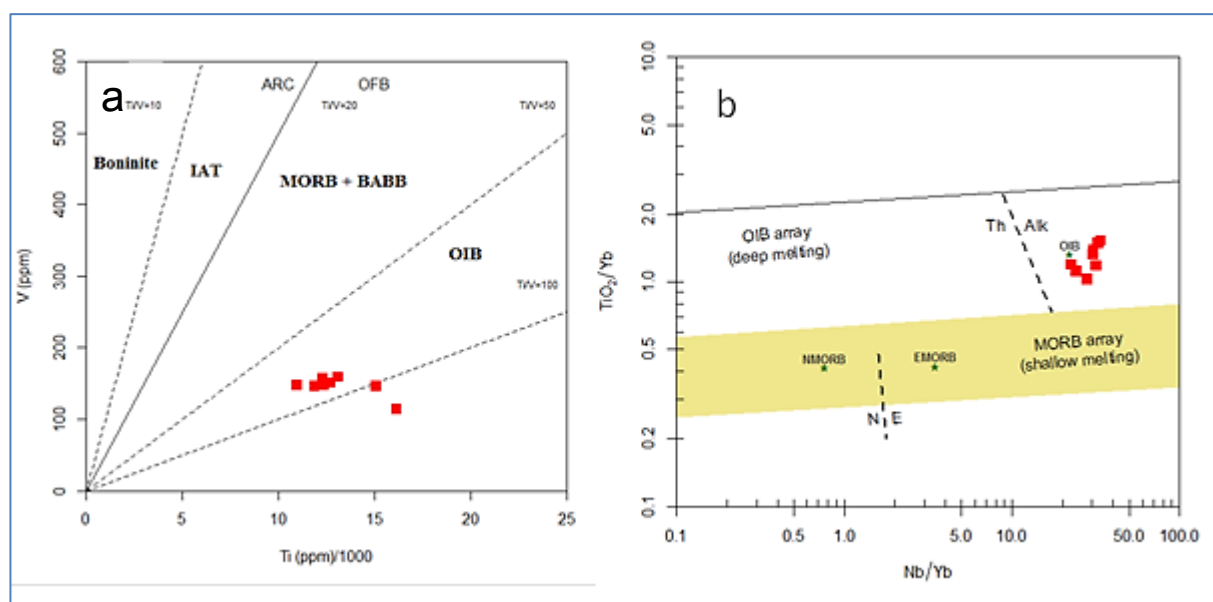
ولتحديد نوعية الصهير تم الاعتماد على مخطط (AFM) والمقترح من قبل [16]، وعند تسقيط النماذج قيد الدراسة على هذا المخطط لوحظ سقوط معظمها ضمن حقل ثيولياليت (Tholeiite)، كما في **الشكل 6a**. كما يعد مخطط (Zr/TiO₂) و (Nb/Y) من أهم المخططات لتصنيف الصخور البركانية [17]، فعند تسقيط النماذج قيد الدراسة على هذا المخطط تبين بأن جميعها تقع ضمن حقل البازالت القلوي (Alkali Basalt) **شكل 6b**.

7. الوضع التكتوني

يشير مخطط (Ti-V) المقترن من قبل [18] ومخطط (TiO₂/Yb - Nb/Yb) المقترن من قبل [19] المستخدمة لتحديد البيانات التكتونية للاندفاعات البركانية الموجودة ضمن تكوين هورمان بأنها تكونت في البيئات الجزر المحيطية خلال الترباسي المتأخر **شكل 7a-b** [Oceanic Island Basalt (OIB)].



شكل 6 : a: مخطط (AFM) عن [16] حيث صخور قيد الدراسة تقع ضمن حقل ثوليابيت
b: مخطط (Nb/Y - Zr/TiO_2) للفرز بين الصخور القلوية عن الصخور تحت القلوية عن [17] حيث تقع جميع النماذج ضمن حقل البازلت القلوبي.



شكل 7 : a: مخطط (Ti-V) لتحديد الصلة التكتونية عن [18]

. b: مخطط (TiO_2/Yb - Nb/Yb) عن [19].

8. الاستنتاجات

1. تشير الدراسة الحقلية الى وجود اندفاعات من صخور التراخايت والتي تقطع صخور هورمان الكاربوناتي.
2. بينت الدراسة البتروغرافية والمعدينية باستخدام المجهر الالكتروني الدقيق بان البلاجيوكليس والكلينوبيروكسین تمثل المعادن الرئيسية ، ومعادن المغنتيتات والالمنيات تمثل معادن اضافية بينما الزيولات والسربيتين تمثل المعادن الثانوية.
3. تشير الدراسة الجيوكيميائية بان هذه الصخور تكونت من صهير ثيوليتي غني بالمعنيسيوم وان هذه الصخور تكون ذات محتوى واطئ من السليكا ومحتوى عالي من الكالسيوم بسبب تعرض هذه الصخور الى عمليات التغيير وتأثير الصخور المحيطة.
4. تؤكد معايرة العناصر مع محتواها في الجزء العلوي من القشرة القارية بان هذه العناصر تفتقر الى العناصر الليثوفيلية ذات نصف قطر عالي (LILE) ، واغناء في عناصر ذات شدة المجال العالى(HFSE).
5. تبين من خلال معايرة العناصر الارضية النادرة مع صخور الكوندرايت لصخور التراخايت اغتناؤها بالعناصر الارضية النادرة الخفيفة (LREE) مقارنة بالعناصر الارضية النادرة الثقيلة (HREE).
6. تشير مخططات التمايز المختلقة المستخدمة لتحديد البيئات التكتونية للاندفاعات البركانية الموجودة ضمن تكوين هورمان بانها تكونت في بيئات الجزر المحيطية (OIB) خلال عصر الترياسي المتأخر.

References

- [1] Myron G. Best "*Igneous and metamorphic petrology*" , 1st Ed., W. H. Freeman and Company, New York (1982).
- [2] H. V. Dunnington, "*Generation, migration, accumulation and dissipate-ion of oil in north Iraq* ", in Weeks, G.L. (ed.), Habitat of oil a symposium. AAPG. Tulsa, 57 (1958).
- [3] B. Al-Qayim, Azad O. Ibrahim, Hemin A. Koyi , "*Tectonostratigraphic overview of The Zagros Sutu Zone, Kurdistan Region, Northeast Iraq* ", GeoArabia 17(4), 47 (2012).
- [4] Saad Z. Jassim and Jeremy C. Goff , "*Geology of Iraq*" , publication of Dolin, Prague and Moravian Museum, Brno Czech Republic (2006).



- [5] A. Sasvari, L. Davies, A. Mann, J. Afzal, G. Vakarcs, and E. Iwaniw, "*Dachstein-type Avroman Formation: An indicator of the Harsin Basin in Iraq*", *GeoArabia*, 20(4), 19 (2015).
- [6] Mohammad J.A Talabani, "*Stratigraphy and Sedimentology of The Avroman Formation (Triassic) Northeast Iraq*", PhD. Thesis, University of Baghdad, Iraq (2013).
- [7] T. Buday and R. Suk, "*Report on the geological survey in NE Iraq, between Halabja and Qala Diza*", GEOSURV library, Baghdad, 917 (1978).
- [8] W. A. Deer, R. A. Howie and J. Zussman, "*An Introduction to the Rock-Forming Minerals*", Longmans, New York (1966).
- [9] T.G. Vallance, "*Spilite again ,some consequences of the Degradation of basalt*", Proceedings of Linnaean Society of New South Wales, 94, 43 (1969).
- [10] S. E. Humphris and G. Thompson, "*Hydrothermal alteration of oceanic basalts by seawater*", *Geochimica Cosmochimica Acta*, 42, 18 (1978).
- [11] S.E. Humphris and G. Thompson, "*trace element mobility during Hydrothermal alteration of oceanic basalts*", *Geochimica Cosmochimica Acta* , 42, 9 (1978).
- [12] A. Miyashiro, F. Shido and M. Ewing, "*Metamorphism in the Mid-Atlantic Ridge near 24° and 30° North Latitude*", Philosophical Transaction of the Royal Society of Landon, Seria A, Mathematical and Physical Sciences 268, 14 (1971).
- [13] J. A. Pearce, "*Basalt geochemistry used to investigate post-collision environment of Cyprus*", *Tectonophys*, 25, 26 (1975).
- [14] S. R. Taylor and S. M. McLennan, "*The geochemical evolution of the continental crust*"*Geophys*, 33, 24 (1995).
- [15] W.V. Boynton, "*Geochemistry of the rare earth element*" , meterorite studies. In Rare Earth Element (Henderson,P;editor). Elsevier,Amsterdam, 51 (1984).
- [16] T.N. Irvine and W.R.A. Baragar, "*A guide to the chemical Classification of the common volcanic rocks*", *Canadian Journal of Earth Sciences*, 8, 25 (1971).
- [17] J.A. Winchester and P.A. Floyd, "*Geochemical discrimination of different magma series and their differentiation products using immobile elements*", *Chemical Geology*, 20, 18 (1977).



[18] J.W. Shervais, "*Ti-V plots and the petrogenesis of modern and ophiolitic lava*", Earth and Planetary Science Letters, 59, 17 (1982).

[19] J. A. Pearce, "*Geochemical fingerprinting of oceanic basalts with Applications to ophiolite classification and the search for Archean Oceanic crust*", Lithos 100, 34 (2008).